

## عیب‌یابی ارتعاشی پوسته‌های استوانه‌ای براساس انحنای شکل مودها\*

(پاداشت پژوهشی)

مرتضی صادقی<sup>(۳)</sup>محمد زهساز<sup>(۲)</sup>نیما جعفرزاده اقدم<sup>(۱)</sup>

**چکیده** در حال حاضر مطالعات اندکی به عیب‌یابی لوله‌ها و پوسته‌های استوانه‌ای جدارنازک اختصاص یافته‌است. در سال‌های اخیر انحنای شکل مودها به عنوان حساسیت بالا به عیب، موردنوجه محققان قرار گرفته است ولی این روش‌ها نیازمند داده‌برداری متراکم و اسکن ارتعاشی کل سطح می‌باشد که این موضوع استفاده صنعتی از این روش‌ها را بسیار محدود کرده است. در این پژوهش روش جدیدی برای عیب‌یابی پوسته‌های استوانه‌ای معرفی گردیده است که نیازمند داده سازه سالم نمی‌باشد و داده‌برداری صرفاً در سه راستای طولی پوسته انجام می‌شود. با انتقال اطلاعات آنالیز ارتعاشی سازه به شبکه عصبی، خروجی شبکه مکان دقیق عیب در سطح سازه خواهد بود و به تکنسین ماهر برای تفسیر داده‌ها نیاز ندارد. عملکرد روش پیشنهادی با استفاده از ورودی‌های جدید و غیرآشنا برای شبکه، صحت سنجی گردید و میزان رگرسیون ۹۷٪ بدست آمد.

**واژه‌های کلیدی** پوسته استوانه‌ای، انحنای شکل مود، تحلیل المان محدود، شاخص عیب، شبکه عصبی مصنوعی.

## Damage Identification of Cylindrical Shells Based on Mode Shapes Curvature

N. Jafarzadeh Aghdam

M. Zehsaz

M. Sadeghi

**Abstract** Currently there are just a few papers about fault detection of tubes and cylindrical shells. Recently, methods based on modal curvatures have gained great attention due to their sensitivity to defects. But the methods require dense number of data extraction points which limits their industrial application. In this research a new method for damage identification of cylindrical shells has been introduced. The method does not need intact structure's data and in contrast to other methods requires a few data extraction points. By transferring the modal information of the structure to the ANN, output of the network is exact position of the defect on the structure and the method does not need skilled technician to interpret the data. Performance of the network is validated by unfamiliar data for the network and 0.97 regression is obtained.

**Key Words** Cylindrical Shell;Mode Shape Curvature; Finite Element Analysis; Damage Index; Artificial Neural Network

\*تاریخ دریافت مقاله ۹۵/۵/۱۸ و تاریخ پذیرش آن ۹۶/۱۱/۸ می‌باشد.

(۱) دانشجوی دوره دکتری، مهندسی مکانیک، RWTH-Aachen University، آلمان. nima.aghdam@sla.rwth-aachen.de

(۲) استاد، مهندسی مکانیک، دانشگاه تبریز.

(۳) استاد، مهندسی مکانیک، دانشگاه تبریز.

## مقدمه

فرکانس طبیعی اول دیده می‌شود. علی‌رغم دقت بالای روش در یافتن عیوب کوچک استفاده از این روش برای سازه‌های پیچیده‌تر مانند پوسته‌های استوانه‌ای با دشواری همراه است و روش برای عیب‌یابی در محل مناسب نمی‌باشد. روش دیگری برپایه تغییرات فرکانس‌های طبیعی برای عیب‌یابی تیرهای کامپوزیتی توسط ترابی و همکاران [4] معرفی شده‌است. در این تحقیق نتایجی درمورد تأثیر عیب بر روی شکل مودها ارائه شده‌است. اما در بسیاری از موارد عیوب تغییرات شدیدی بر روی شکل مودها ایجاد نمی‌کنند و حتی با اندازه‌گیری تراکم بالا، شکل مودها حساسیت زیادی به عیوب نشان نمی‌دهند [5].

بسیاری از روش‌های عیب‌یابی دینامیکی نیازمند اطلاعات مربوط به سازه سالم برای تشخیص عیب هستند. اغلب دسترسی به اطلاعات سازه سالم امکان‌پذیر نمی‌باشد و این موضوع سبب عدم امکان استفاده از این روش‌ها در بسیاری از موارد شده‌است. یکی دیگر از اشکالات مرتبط با روش‌های عیب‌یابی دینامیکی حساسیت کم نسبت به عیوب کوچک است [6]. با ابداع روش‌های عیب‌یابی مبتنی بر انحنای شکل مودها، حساسیت بالای این روش‌ها نسبت به عیوب توجه محققان را جلب نموده‌است. فن و کیائو [2] مرور جامعی از روش‌های عیب‌یابی براساس مشخصات ارتعاشی سازه ارائه کردند. در این پژوهش روش استفاده از انحنای شکل مودها روشی کارا در عیب‌یابی ارزیابی گردیده‌است. کیائو و همکاران [7] از سه روش مختلف مبتنی بر انحنای شکل مودها برای عیب‌یابی تیرها استفاده نموده‌اند. هی و همکاران [8] روشی مبتنی بر انحنای شکل مودها برای عیب‌یابی تیرهای کامپوزیتی معرفی کردند که با وجود محدودیت‌هایی قابلیت تشخیص عیوب متعدد و شدت آنها را دارد. کیائو و همکاران [1] در تحقیق دیگری از سه روش مختلف مبتنی بر انحنای شکل مودها برای عیب‌یابی صفحات کامپوزیتی استفاده

بسیاری از سازه‌های موجود در صنایع را می‌توان به عنوان پوسته‌استوانه‌ای قلمداد نمود ازجمله محفظه‌های فضایی، مخازن تحت فشار، بویلرهای غیره. باوجود کاربرد وسیع پوسته‌های استوانه‌ای مطالعات اندکی بر روی عیب‌یابی این سازه‌ها انجام شده‌است. شکست ناگهانی این سازه‌ها منجر به فجایع و ضررهای مالی و جانی جبران ناپذیری می‌شود. جلوگیری از شکست ناگهانی این سازه‌ها، نیازمند شناسایی عیوب سازه‌ای ازجمله ترک‌ها، خوردگی و غیره در مراحل ابتدایی ایجاد آنها می‌باشد. روش‌های غیرمخرب بسیاری ازجمله روش‌های فراصوت و اشعه ایکس برای سازه‌های ساده، توسعه یافته‌اند و مورد استفاده در صنایع می‌باشند. در اغلب موارد برای استفاده از این روش‌ها باید مکان تقریبی عیب مشخص باشد و همچنین این روش‌ها زمان بر هستند و مهم‌تر از همه نیازمند تکنسین‌های ماهر برای تفسیر داده‌های اخذ شده می‌باشند [1].

روش‌های دینامیکی از روش‌های کم‌هزینه به حساب می‌آیند و به علت قابلیت حمل تجهیزات آنها، در بحث عیب‌یابی به‌هنگام همواره از جایگاه ویژه‌ای برخوردار بوده‌اند. در مبحث عیب‌یابی توسط مشخصات ارتعاشی سازه، استفاده از فرکانس‌های طبیعی با مشکلاتی مواجه است، زیرا در اثر بروز عیوب میزان تغییرات فرکانس طبیعی کم است و همچنین تعیین مکان عیب توسط آن نیازمند استفاده از تکنیک‌های پیچیده می‌باشد. علاوه‌بر آن شرایط محیطی بر روی فرکانس‌های طبیعی سازه بسیار تأثیرگذار است [2]. ترابی و همکاران [3] روشی برای عیب‌یابی تیرهای کامپوزیتی با استفاده از فرکانس طبیعی اول تیر و به‌کارگیری یک تکیه‌گاه متحرک معرفی کردند. با جابه‌جا کردن تکیه‌گاه در طول تیر در هر مرحله مقدار فرکانس طبیعی اول سازه استخراج می‌گردد. با رسیدن تکیه‌گاه متحرک به محل عیب نوسان شدیدی در مقدار

پس از اعمال الگوریتم عیب‌یابی برای آموزش شبکه عصبی مورداستفاده قرارمی‌گیرد. با توجه به ویژگی یادگیری و تعمیم شبکه‌های عصبی، پس از آموزش شبکه، با داشتن اطلاعات آنالیز ارتعاشی مربوط به سه امتداد سازه واقعی، مکان‌یابی سریع عیب در تمام نقاط محیط پوسته استوانه‌ای امکان‌پذیر خواهد بود.

جدول ۱ مشخصات مکانیکی لوله مورداستفاده برای شبیه‌سازی [11]

ضریب پواسون	چگالی (kg/m <sup>3</sup> )	مدول لاستیک (GPa)
0.3	7850	210

جدول ۲ ابعاد لوله مورداستفاده برای شبیه‌سازی

ضخامت (mm)	قطر بیرونی (mm)	طول لوله (m)	اندازه اسمی لوله (in)
7.04	219.08	0.8	8

### شبیه‌سازی پوسته استوانه‌ای

با رجوع به استاندارد ای اس‌تی ام مربوط به ساخت لوله‌های بدون درز و با توجه به کاربرد وسیع این لوله‌ها در صنایع پتروشیمی برای شبیه‌سازی از لوله فولادی (A106) گردید ب استفاده شد. این لوله‌ها در شرایط (2) کاری تحت فشار و دمای بالای قرار می‌گیرند. مشخصات مکانیکی لوله در جدول (1) و ابعاد لوله شده در جدول (2) ذکر شده‌است. شرایط سازی شبیه‌سازی مدل اعمال شده‌است. سردو تکیه‌گاهی آزاد برای مدل اعمال شده‌است. سردو تکیه‌گاهی با استفاده از ۵۲۰۰ المان پوسته ۴ نقطه‌ای دو انحنای، با زنی می‌شود. حداکثر طول المان ۱۰ میلی‌متر، مدل مش شده سازه نمایش داده زنی در شکل (1) مدل مش شده‌است. برای استخراج فرکانس‌های طبیعی و شکل مودها از روش لانکسوز استفاده می‌شود و ۱۳ شکل مود طبیعی اول سازه استخراج می‌گردد. (به علت اعمال شرایط مرزی دوسرآزاد، سازه دارای ۶ مود صلب می‌باشد). انتخاب شکل مود برای انجام آزمون

کردند. نویسنده‌گان حساسیت بالای انحنای شکل مودها نسبت به بروز عیب را گزارش نموده‌اند. ژو و همکاران [9] روش جدیدی براساس انحنای شکل مود اصلی، میانگین و گاوین برای عیب‌یابی ورق‌ها معرفی کرده‌اند که عملکرد خوبی در مقابل نویز دارد. این روش نیازمند اسکن ارتعاشی کل سطح ورق می‌باشد.

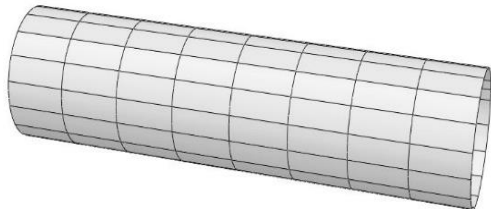
ژیانگ و همکاران [10] از روش ترکیبی انحنای شکل مودها و فرکانس‌های طبیعی برای مکان‌یابی و تخمین شدت عیب برروی پوسته‌های مخروطی استفاده کردند. کاربرد روش مذکور برروی پوسته‌های استوانه‌ای نیز بررسی شده‌است. در این روش از تبدیل موجک (Transform Wavelet) برای مکان‌یابی عیب استفاده شده‌است. علی‌رغم دقت بالای روش مذکور در مکان‌یابی عیب در طول پوسته، مکان‌یابی عیب برروی محیط پوسته توسط این روش امکان‌پذیر نمی‌باشد.

در مقاله‌ای دسی و کامرنگو [5] مرور جامعی بر روش‌های مبتنی بر انحنای شکل مودها داشتند و روش‌های مختلف را مقایسه کردند و مزایا و هریک را بیان نمودند.

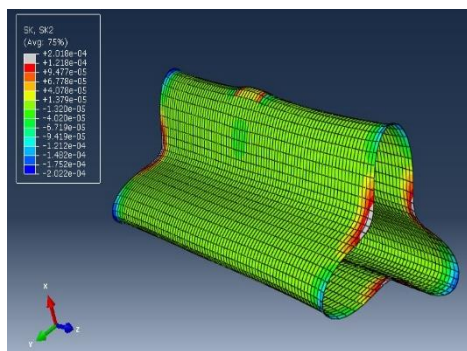
با بررسی ادبیات فن، یکی از مهم‌ترین نواعص موجود در روش‌های عیب‌یابی مبتنی بر انحنای شکل مودها، نیاز به اسکن و داده‌برداری از تمامی نقاط سطح سازه می‌باشد که این موضوع منجر به زمان‌بربودن و درنتیجه نامناسب‌بودن روش‌های فوق برای مصارف صنعتی شده‌است. اندکی کاهش در تعداد نقاط موردنیاز داده‌برداری سبب ارجحیت یافتن یک روش نسبت به سایر روش‌ها می‌گردد. در این تحقیق روش جدیدی برای عیب‌یابی پوسته‌های استوانه‌ای با استفاده از تجهیزات قابل حمل و با تعداد اندکی داده‌برداری معرفی گردیده است.

در پژوهش حاضر ابتدا پوسته استوانه‌ای در نرم‌افزار آباکوس شبیه‌سازی می‌شود، سپس با ایجاد عیب در قسمت‌های مختلف سازه مقادیر انحنای شکل مودها در سه راستا در طول سازه استخراج می‌گردد و

انحنای شکل مود طبیعی سازه به طور مستقیم قابل استخراج است. در صورت عدم دسترسی به داده‌های انحنای شکل مود، نیاز به استفاده از روش تقریب میانی بر داده‌های جابه‌جایی مودال برای استخراج داده‌های انحنا پیش می‌آید که این روش در مقاله [12] به طور کامل توضیح داده شده است. در شکل (۴) نمونه‌ای از مقادیر انحنای شکل مود برروی سازه معیوب نشان داده شده است. تغییرات انحنا در اطراف منطقه معیوب قابل توجه است.



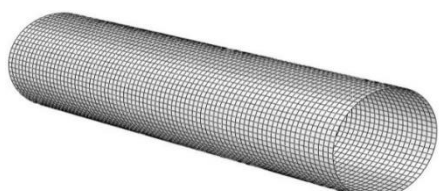
شکل ۳ مدل تقسیم‌بندی شده پوسته استوانه‌ای (طول مدل به ۸ حلقه و محیط پوسته به ۱۶ قسمت مساوی تقسیم‌بندی شده است)



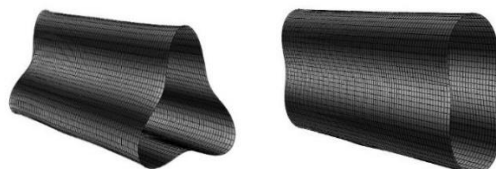
شکل ۴ کانتور میزان انحنای حاصل از تحلیل المان محدود (تغییرات انحنا در مکان عیب (حد فاصل ۳۰۰ الی ۴۰۰ میلی‌متری طول پوسته) مشهود است)

**استخراج نتایج شبیه‌سازی المان محدود.** طبق روش پیشنهادی در این پژوهش؛ برای کاهش تعداد نقاط مورد نیاز داده‌برداری، صرفاً در نقاط واقع بر راستای سه امتداد و به فاصله ۱۲۰ درجه از یکدیگر مقادیر انحنای شکل مودها استخراج می‌گردد (شکل ۵). به منظور

عیب‌یابی، در میزان حساسیت روش تأثیر به سازی دارد. در صورت قرارگیری عیب بر روی نقاط اکسترم شکل مود، امکان شناسایی عیب بیشتر است. به منظور افزایش حساسیت روش عیب‌یابی از مجموع داده‌های انحنای شکل مود مربوط به دو مود هفتم (۱۳۰.۸ Hz)، برابر (۴۶۱.۹ Hz) و سیزدهم (۲.۰ Hz) عیب‌یابی استفاده می‌شود (شکل ۲).



شکل ۱ مدل مشخصه شده پوسته استوانه‌ای



شکل ۲ (الف) شکل مود ارتعاشی هفتم پوسته استوانه‌ای  
ب) شکل مود ارتعاشی سیزدهم پوسته استوانه‌ای

**شبیه‌سازی عیب.** خوردگی یکی از متدائل‌ترین نوع عیوب مربوط به لوله‌ها و مخازن است. برای شبیه‌سازی عیب، طول لوله شبیه‌سازی شده، به ۸ حلقه برابر و محیط آن با استفاده از خطوط طولی به ۱۶ قسمت تقسیم‌بندی می‌شود؛ به این ترتیب در مجموع سطح لوله به ۱۰۸ متر تقسیم می‌شود (شکل ۳). مقدار ضخامت پوسته ۷/۰۴ میلی‌متر اعمال می‌گردد. برای شبیه‌سازی عیب خوردگی، مقدار ضخامت یکی از ۱۰۸ قسمت سطح به اندازه ۲ میلی‌متر کاهش داده می‌شود. با این روش شبیه‌سازی عیب، نیاز به مشخصه نمی‌باشد که این امر در بحث مقایسه نتایج حاصل شده بسیار حائز اهمیت است زیرا ایجاد هرگونه تغییر در مشاهده باعث تغییر نتایج تحلیل المان محدود خواهد شد. با توجه به قابلیت‌های نرم‌افزار آباکوس،

برروی تیرها انجام داده‌اند [7]، نویسنده‌گان اعلام کرده‌اند که روش انرژی کرنشی و روش صافی سطح شکاف‌دار نتایج بهتری داشته‌است. به خصوص در طی آزمایش تجربی عملکرد بهتر روش‌های مذکور مشهود است. در پژوهش حاضر نیز با انتقال داده‌های انحنای شکل مود به محیط نرم‌افزار متلب از روش صافی سطح شکاف‌دار برای عیب‌یابی استفاده شده‌است. در این روش با برازش موضعی منحنی چندجمله‌ای درجه سه به مقادیر انحنای نقاط هم‌جوار هر نقطه و محاسبه اختلاف آن با انحنای همان نقطه، شاخص عیب محاسبه می‌گردد. مفهوم اینها، معکوس شعاع انحنا می‌باشد. برای مثال مقدار انحنا مربوط به المان  $i$ ،  $C_i$ ، در مکان  $x_i$  در طول سازه با استفاده از برازش منحنی از رابطه (1) به دست می‌آید:

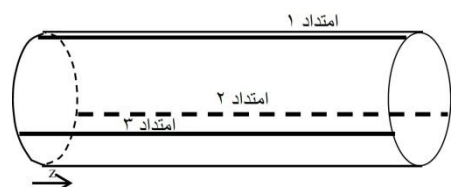
$$C_i = a_0 + a_1 x_i + a_2 x_i^2 + a_3 x_i^3 \quad (1)$$

که در این رابطه مقادیر ضرایب؛  $a_0, a_1, a_2, a_3$  با برازش منحنی درجه سه برروی مقادیر انحنای شکل مود مربوط به دو نقطه قبل و بعد از نقطه  $i$ ؛  $C_{i-2}, C_{i-1}, C_{i+1}, C_{i+2}$  محاسبه می‌گردد. برای نقطه اول از داده‌های  $C_2, C_3, C_4, C_5$  و برای نقطه دوم از داده‌های نقاط  $C_1, C_2, C_3, C_4, C_5$  استفاده می‌شود. روال مشابه برای محاسبه انحنا در دو نقطه آخر اتخاذ می‌گردد. شاخص عیب هر نقطه، تفاضل مقدار محاسبه شده از طریق برازش منحنی و مقدار واقعی انحنای نقطه موردنظر می‌باشد. مقدار شاخص عیب هر نقطه از رابطه (2) محاسبه می‌گردد:

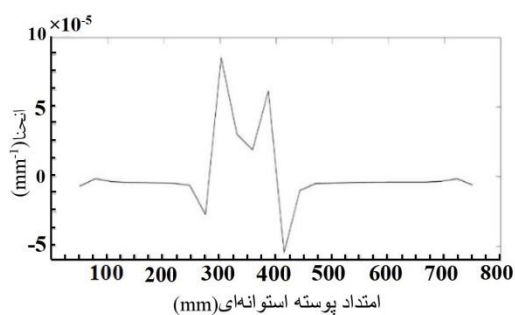
$$\delta_i = (a_0 + a_1 x_i + a_2 x_i^2 + a_3 x_i^3) - C_i \quad (2)$$

برای هر یک از نقاط واقع بر سه امتداد داده‌برداری، مقدار شاخص عیب محاسبه می‌گردد و نمودار مقادیر شاخص عیب در سه امتداد طول سازه

نزدیک کردن روش المان محدود به روش داده‌برداری تجربی، در هر یک از سه امتداد، صرفاً در ۲۶ نقطه (به فاصله ۲۸ میلی‌متر) داده‌ها استخراج می‌شود. نقطه آغازین و انتهایی داده‌برداری (نقطه ۱ و ۲۶) در فاصله ۵۰ میلی‌متری از دو انتهای لوله واقع شده‌اند. نمونه‌ای از نمودار انحنای شکل مود سازه مغایب در شکل (۶) نشان داده شده است.



شکل ۵ امتداد سه مسیر داده‌برداری در طول پوسته استوانه‌ای



شکل ۶ نمودار تغییرات انحنای حاصل از تحلیل المان محدود (مکان عیب در مسیر امتداد دوم داده‌برداری و برروی حلقة چهارم، حد فاصل ۳۰۰ الی ۴۰۰ میلی‌متری در طول پوسته)

### استفاده از الگوریتم عیب‌یابی

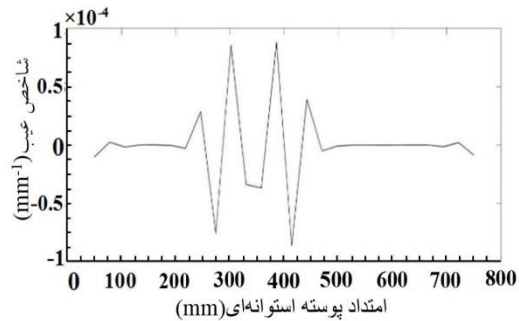
در دهه اخیر تعداد زیادی از محققان توجه خویش را به ابداع الگوریتم‌های عیب‌یابی برپایه انحنای شکل مودها معطوف داشته‌اند. تقریباً در تمام مقالات با استفاده از روش‌های تجربی و عددی کارایی روش پیشنهادشده صحبت‌سنجی شده است. کیائو و همکاران مقایسه‌ای بین سه روش معروف مبتنی بر انحنای شکل مود؛ ابعاد انکساری تعمیم‌یافته (Generalized Fractal Dimension)، روش انرژی کرنشی و روش صافی سطح شکاف‌دار (Gapped Smoothing Method) انجام

استفاده شده است. این شبکه برای برآذش منحنی بسیار متداول است. در شبکه های عصبی مورداستفاده در پژوهش حاضر تابع تبدیل لایه های مخفی تائزانت هیپوربولیک می باشد. الگوریتم آموزش پسانشوار برای شبکه های چندلایه، برپایه الگوریتم مینیمم خطای مربعات می باشد و روش آموزش، نظارتی به حساب می آید که در آن آموزش از طریق مجموعه ای از داده های آموزشی انجام می گیرد. روش پسانشوار مشابه با روش مینیمم خطای مربعات از شاخص عملکرد میانگین مربع خطای استفاده می کند [14]. برای آموزش سریع شبکه های عصبی، الگوریتم های بهینه سازی عددی مورداستفاده قرار می گیرند. در این پژوهش از الگوریتم بهینه سازی لونبرگ مارکوارد (Levenberg Marquardt optimization) استفاده شده است.

دسته بندی داده های ورودی به شبکه عصبی از اهمیت بالایی برخوردار است زیرا که به طور مستقیم بر میزان انطباق و رگرسیون شبکه تأثیرگذار است. به منظور به دست آوردن داده های لازم برای آموزش شبکه عصبی، ضخامت یکی از قسمت های روی پوسته استوانه ای ۲ میلی متر کاوش داده می شود. در این پژوهش پوسته شبیه سازی شده، مشتمل بر ۸ حلقه بهارتفاع ۱۰۰ میلی متر است که حلقه ابتدایی و انتهایی به جهت نزدیکی به شرایط مرزی مدنظر عیب یابی نمی باشند (شکل ۳). مکان عیب بر روی قسمت های واقع بر حلقه دوم تا حلقه هفتم (فاصله ۱۰۰ تا ۷۰۰ میلی متری طول پوسته) جایه جا می شود و در ۹۶ مکان مختلف عیب، مقادیر انحنای شکل مود نقاط در مودهای ارتعاشی هفتم و سیزدهم استخراج می گردد. در هر امتداد، داده برداری از ۲۶ نقطه در طول پوسته انجام شده است. که در مجموع برای یک مکان مشخص عیب، برای هر یک از مودهای ارتعاشی، ۳ ماتریس ۲۶ در ۱ استخراج گردیده است. تمامی داده های مربوط به انتخاب نرم افزار متلب متنقل می شود و پس از به دست آوردن شاخص های عیب، هر یک از ماتریس ها، نرمال سازی می شود و قدر مطلق آنها ثبت

به دست می آید.

نمونه ای از نمودار شاخص عیب؛ محاسبه شده به روش صافی سطح شکاف دار، در شکل (۷) نشان داده شده است. با توجه به مکان بروز عیب و فاصله هر یک از امتدادهای داده برداری از مکان عیب، میزان شاخص عیب در طول سه امتداد داده برداری متفاوت می باشد. در ادامه از این موضوع برای آموزش شبکه عصبی به منظور تشخیص مکان عیب در تمام نقاط محیط پوسته استفاده می شود.



شکل ۷ نمودار شاخص عیب به طول پوسته استوانه ای- مکان عیب در مسیر امتداد دوم داده برداری و بر روی حلقه ۴ام (حد فاصل ۳۰۰ الی ۴۰۰ میلی متری پوسته)

## شبکه عصبی

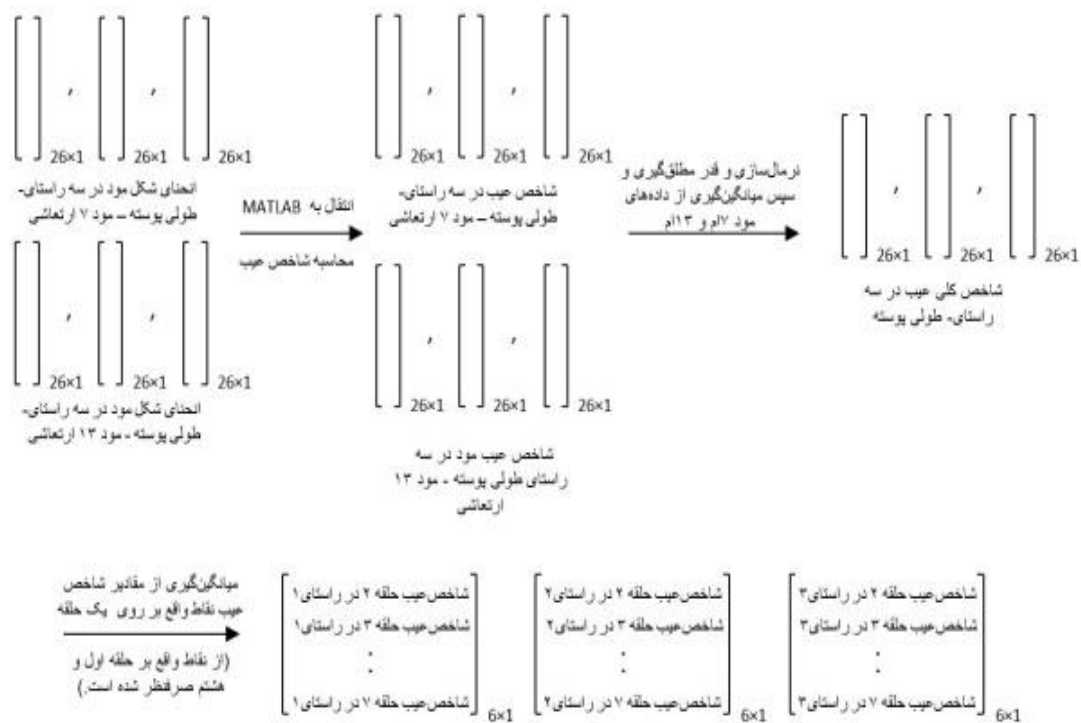
شبکه های عصبی به عنوان مدل های ساده سازی شده برپایه نحوه یادگیری بیولوژیکی مغز انسان توسعه یافته اند. یک شبکه عصبی مصنوعی شامل تعدادی نورون های پردازنده می باشد که به یکدیگر متصل اند و در یک لایه از شبکه جمع شده اند. با وجود روش های محدود محاسباتی، تعداد لایه های مخفی و تعداد نورون های هر لایه مخفی اغلب با استفاده از روش آزمون و خطا تعیین می گردد [13]. شبکه های عصبی توانمندی بالایی در برآذش منحنی بر روی دارند. شبکه های چند لایه با داشتن تعداد نورون کافی، قابلیت برآذش منحنی بر روی هر مجموعه داده ای را دارند [14]. در این پژوهش از شبکه عصبی پرسپترون چندلایه؛ که یک شبکه پیشخور محسوب می شود

عصبی مجزا برای مکان یابی دقیق عیب در طول و محیط پوسته استفاده می‌گردد.

آموزش شبکه عصبی برای مکان یابی عیب در طول پوسته استوانه‌ای. برای هر حالت بروز عیب، مقادیر شاخص عیب (سه ماتریس ۶ در ۱) مرتبط با هر امتداد با یکدیگر جمع ماتریسی می‌شود. نتیجه یک ماتریس ۶ در ۱ است که هر یک از اعضای ماتریس مقدار شاخص عیب کلی مرتبط با هر حلقه می‌باشد. از این ماتریس به عنوان ورودی شبکه استفاده می‌شود. این شبکه دارای یک خروجی مرتبط با مکان طولی عیب می‌باشد. با نزدیک شدن مکان عیب به یک حلقه، عدم صافی سطح بر ر روی نودهای واقع بر این حلقه محسوس تر می‌شود و شاخص عیب این حلقه بیشتر از حلقه‌های جانی خواهد بود. شبکه عصبی با یادگیری رفتار و تغییرات مقادیر شاخص عیب‌ها الگویی از نحوه تغییرات ایجاد می‌کند و قابلیت مکان یابی عیب در کل طول پوسته استوانه‌ای را خواهد داشت.

می‌گردد. سپس مقادیر شاخص‌های عیب مرتبط با مود هفتم و سیزدهم میانگین‌گیری می‌شود که درنتیجه برای هر حالت بروز عیب ۳ ماتریس ۲۶ در ۱ شاخص عیب، مرتبط با سه امتداد داده‌برداری محاسبه می‌گردد. با صرف نظر کردن از حلقه‌های شماره ۱ و ۸ پوسته، هر یک از امتدادهای داده‌برداری از ۶ حلقه محیطی پوسته عبور می‌کند. درمورد هر یک از امتدادهای داده‌برداری، از مقادیر شاخص عیب ۲۶ نقطه داده‌برداری، مقادیر شاخص عیب نقاطی که بر روی یک حلقه واقع شده‌اند میانگین‌گیری می‌شود و برای هر حلقه یک مقدار مشخص شاخص عیب مرتبط با هر حلقه (ماتریس ۶ در ۱) بدست می‌آید. و درنهایت برای هر مکان عیب ۳ ماتریس ۶ در ۱ شاخص عیب حاصل می‌گردد. مراحل محاسبه داده‌ها برای آموزش شبکه عصبی در شکل (۸) نیز ارائه شده است.

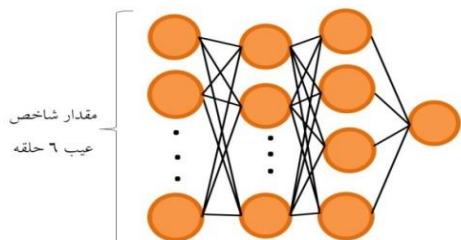
کاهش تعداد مشخصه‌های ورودی به شبکه عصبی، به علت کاهش پیچیدگی شبکه، سبب افزایش میزان انطباق شبکه می‌شود. بدین منظور از دو شبکه



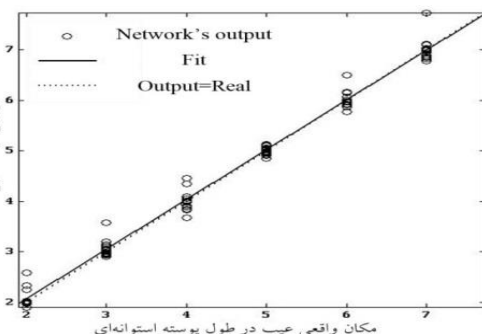
شکل ۸ مراحل آماده‌سازی داده‌های تحلیل المان محدود برای آموزش شبکه عصبی

آموزش شبکه عصبی برای مکان یابی عیب در محیط پوسته استوانه‌ای. برای این شبکه، یک مقدار (عدد) به عنوان شاخص عیب برای هر یک از سه امتداد داده‌برداری مرتبط می‌گردد. برای هر حالت بروز عیب، اعضای ماتریس ۶ در ۱ مرتبط با یک امتداد (مقادیر شاخص عیب) با یکدیگر جمع جبری می‌شوند و مقدار شاخص عیب کلی مربوط به آن امتداد به دست می‌آید. مقادیر شاخص عیب سه امتداد درنهایت به صورت یک ماتریس ۳ در ۱ ثبت می‌گردند. از ماتریس مذکور به عنوان ورودی شبکه دوم استفاده می‌شود. شبکه دارای یک خروجی مرتبط با مکان قرارگیری عیب در محیط حلقه معیوب می‌باشد. در صورت قرارگرفتن عیب بین دو امتداد، مقادیر شاخص عیب مرتبط به این دو امتداد بیش از امتداد سوم (امتداد دورتر) به دست می‌آید. با نزدیک شدن مکان عیب به هر یک از امتدادهای داده‌برداری، عدم صافی سطح ناشی از حضور عیب بر روی نودهای این امتداد محسوس‌تر خواهد بود و مقدار شاخص عیب مرتبط با این امتداد بیشتر است. شبکه عصبی با یادگیری رفتار و تغییرات مقادیر شاخص عیب‌ها الگویی از نحوه تغییرات ایجاد می‌کند و پس از آموزش همانند جعبه سیاهی عمل می‌کند و با دریافت ماتریس عیب امتدادها، مکان عیب را در کل محیط پوسته استوانه‌ای تشخیص می‌دهد. با توجه به قدرت برآشش شبکه عصبی، شبکه قدرت تشخیص مکان عیوب غیرآشنا برای شبکه را نیز دارد. طبق روال شبکه عصبی پیشین تعداد داده‌های موجود به طور اتفاقی به سه دسته آموزش، صحت‌سنجی و آزمون تقسیم می‌شود. با روش آزمون و خطا تعداد بهینه لایه‌ها و نورون‌های لایه‌های مخفی به دست می‌آید. برای هر پیکربندی مشخص شبکه ۴۰ شبکه عصبی آموزش داده می‌شود و با بررسی میانگین عملکرد شبکه‌ها شبکه

از ۹۶ داده موجود ۶۶ داده برای آموزش شبکه و ۱۵ داده برای صحت‌سنجی و ۱۵ داده برای آزمودن شبکه به طور اتفاقی انتخاب شده و مورد استفاده قرار گرفته‌اند. با روش آزمون و خطا تعداد بهینه لایه‌ها و نورون‌های لایه‌های مخفی به دست می‌آید. برای هر پیکربندی مشخص شبکه ۴۰ شبکه عصبی آموزش داده می‌شود و با میانگین‌گیری از عملکرد شبکه‌ها و مقایسه نتایج، بهترین پیکربندی شبکه استخراج می‌گردد. شبکه عصبی سه لایه با ۵ نورون در لایه اول و ۴ نورون در لایه دوم بهترین عملکرد را نشان می‌دهد. برای پیکربندی ذکرشده، میزان رگرسیون برای داده‌های آموزشی ۹۹/۹۷، داده‌های صحت‌سنجی ۰/۹۲ و داده‌های آزمون ۰/۹۹ است و رگرسیون برای مجموع کل داده‌ها ۰/۹۵ می‌باشد. در شکل (۹) تصویر پیکربندی شبکه و در شکل (۱۰) نمودار رگرسیون شبکه برای داده‌های آزمون آمده است.



شکل ۹ پیکربندی شبکه عصبی برای مکان یابی عیب در طول پوسته استوانه‌ای



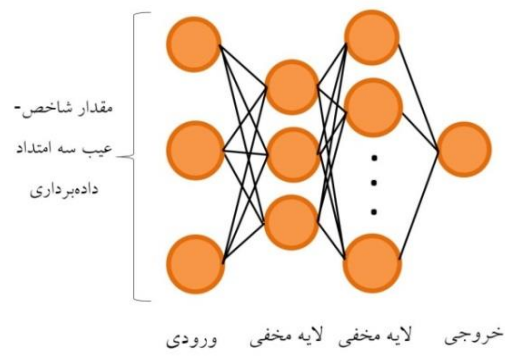
شکل ۱۰ نمودار رگرسیون برای کل داده‌های ورودی به جهت تعیین عیب در طول پوسته (مقدار خطای داده‌های آزمون برابر با ۰/۹۹ است)

معرفی شده است. تعداد بالای نقاط موردنیاز برای داده‌برداری و نیاز به اسکن ارتعاشی از معایب عمده روش‌های عیب‌یابی برپایه انحنای شکل مودها می‌باشد. روش معرفی شده با هدف کاهش تعداد نقاط داده‌برداری و افزایش سرعت عیب‌یابی برای کاربردی کردن روش عیب‌یابی درجهت مصارف صنعتی طراحی گردیده است.

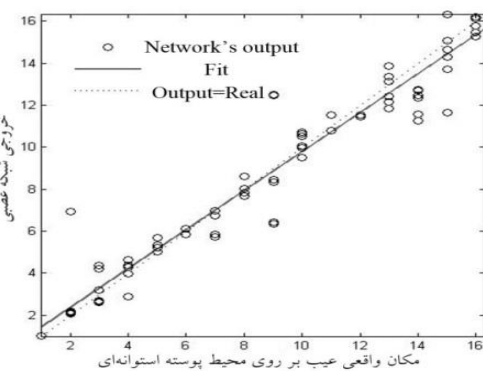
در این پژوهش با شبیه‌سازی پوسته جدارنازک توسط نرم‌افزار آباقوس و ایجاد عیب برروی مدل، داده‌های مربوط به انحنای شکل مود در سه راستای طولی لوله استخراج گردید. عیب برروی سطح سازه جابه‌جا شد و داده‌های مربوط به انحنا در هر مرحله استخراج شدند. با تحلیل داده‌ها باستفاده از روش عیب‌یابی صافی سطح شکافدار، مقادیر شاخص عیب برای هر راستا محاسبه گردید. از مقادیر شاخص عیب جهت آموزش شبکه عصبی استفاده شد. به‌منظور کاهش پیچیدگی شبکه و درنتیجه افزایش قدرت شبکه در برآش منحنی، از دو شبکه عصبی مستقل که به‌طور موازی با هم عمل می‌کنند جهت مکان‌یابی عیب استفاده گردید. با برآش منحنی بر داده‌ها، میزان انطباق بالای مشاهده شد. مقدار رگرسیون شبکه‌های عصبی برای داده‌های غیرآشنای شبکه (داده‌های آزمون) به‌جهت مکان‌یابی عیب در طول و محیط پوسته استوانه‌ای به ترتیب  $0.99$  و  $0.978$  به‌دست آمد. بااستفاده از روش پیشنهادی این پژوهش و با توجه به قدرت یادگیری و تعمیم شبکه‌های عصبی، با داشتن داده‌های مربوط به انحنای شکل مود در سه راستای طولی پوسته استوانه‌ای، امکان تشخیص و مکان‌یابی سریع عیب در کل نقاط سازه مقدور می‌شود. استفاده هم‌زمان از دو شکل مود میزان دقیق روش عیب‌یابی را افزایش داده است.

پس از یک مرتبه آموزش شبکه عصبی برای یک سازه مشخص، عیب‌یابی در طول عمر سازه به سرعت انجام می‌شود. خروجی شبکه مکان دقیق عیب است و نیاز به تکنسین ماهر برای تفسیر داده‌ها نمی‌باشد. درمورد سازه‌های فضایی به‌علت ظرفیت بسیار محدود

عصبی سه‌لایه، با ۳ نورون در لایه اول و ۵ نورون در لایه دوم بهترین عملکرد را نشان می‌دهد. میزان رگرسیون برای داده‌های آموزشی  $0.969$ ، داده‌های صحبت‌سنگی  $0.978$  و داده‌های آزمون  $0.978$  است و میزان رگرسیون برای مجموع کل داده‌ها  $0.97$  می‌باشد. در شکل (۱۱) تصویر پیکربندی شبکه و در شکل (۱۲) نمودار رگرسیون شبکه برای داده‌های آزمون آمده است.



شکل ۱۱ پیکربندی شبکه عصبی برای مکان‌یابی عیب در محیط پوسته استوانه‌ای



شکل ۱۲ نمودار رگرسیون برای کل داده‌های ورودی به‌جهت تعیین عیب در محیط پوسته (مقدار خطأ کل داده‌های آزمون برابر با  $0.978$  است)

## جمع‌بندی و نتیجه‌گیری

در پژوهش حاضر روش جدیدی براساس انحنای شکل مودها برای عیب‌یابی پوسته‌های جدارنازک

تجربه می‌کنند از اهمیت بالایی برخوردار است. در روش پیشنهادی مقاله، در لحظه عیب‌یابی، سازه صرفاً با خود مقایسه می‌شود و شاخص عیب نقاط محاسبه می‌گردد و شرایط محیطی برروی روش کاملاً بی‌تأثیر است. در پژوهش‌های آتی نویسندهاگان به بررسی تجربی این روش خواهند پرداخت.

انرژی برای پردازش و همچنین ظرفیت محدود ذخیره‌سازی اطلاعات با بهره‌گیری از نتایج تحقیق حاضر و با توجه به سرعت بالای پردازش در شبکه‌های عصبی، دیگر نیاز به ذخیره‌سازی و ارسال داده‌ها به زمین برای تحلیل نمی‌باشد. از طرفی عدم نیاز به داده‌های سازه سالم برای مقایسه، به خصوص برای سازه‌های فضایی که تغییرات درجه حرارت بالایی را

## مراجع

1. Qiao, P., Lu, K., Lestariand, W. and Wang, J. "Curvature Mode Shape-based Damage Detection in Composite Laminated Plates", *Composite Structures*, Vol. 80, No. 3, pp. 409-428, (2007).
2. Fan, W. and Qiao, P., "Vibration-based Damage Identification Methods: A Review and Comparative Study", *Structural Health Monitoring*, Vol. 10, No. 1, pp. 83-111, (2011).
3. Torabi, K., Shariati-Nia, M. and Heidari-Rarani, M., "Moving Support Technique for Delamination Detection in Laminated Composite Beams Using the First Natural Frequency", *Journal of Reinforced Plastics and Composites*, pp. 1116-1128, 0731684417703489, (2017).
4. Torabi, K., Shariati-Nia, M. and Heidari-Rarani, M., "Experimental and Theoretical Investigation on Transverse Vibration of Delaminated Cross-ply Composite Beams", *International Journal of Mechanical Sciences*, Vol. 115, pp. 1-11, (2016).
5. Dessimoz, D. and Camerlengo, G., "Damage Identification Techniques Via Modal Curvature Analysis: Overview and Comparison", *Mechanical Systems and Signal Processing*, Vol. 52, pp. 181-205, (2015).
6. Giurgiutiu, V., "Structural Health Monitoring (SHM) of Aerospace Composites", *Polymer Composites in the Aerospace Industry*, pp. 449–507, (2015).
7. Qiao, P., Lestari, W., Shah, M.G. and Wang, J. "Dynamics-based Damage Detection of Composite Laminated Beams Using Contact and Noncontact Measurement Systems", *Journal of Composite Materials*, Vol. 41, No. 10, pp. 1217-1252, (2007).
8. He, M., Yang, T. and Du, Y., "Nondestructive Identification of Composite Beams Damage Based on the Curvature Mode Difference", *Composite Structures*, Vol. 176, pp. 178-186, (2017).
9. Xu, Y., Zhu, W. and Smith, S., "Non-model-based Damage Identification of Plates Using Principal, Mean and Gaussian Curvature Mode Shapes", *Journal of Sound and Vibration*, Vol. 400, pp. 626-659, (2017).
10. Xiang, J., Matsumoto, T., Wang, Y. and Jiang, Z., "Detect Damages in Conical Shells Using Curvature Mode Shape and Wavelet Finite Element Method", *International Journal of Mechanical Sciences*, Vol. 66, pp. 83-93, (2013).
11. ASTM A106 / A106M, Standard Specification for Seamless Carbon Steel Pipe for High-Temperature Service, ASTM International, West Conshohocken, PA, (2010), www.astm.org
12. Ratcliffe, C.P., "A Frequency and Curvature Based Experimental Method for Locating Damage in Structures", *Journal of Vibration and Acoustics*, Vol. 122, No. 3, pp. 324-329, (2000).
13. Paya, B., Esat, I. and Badi, M., "Artificial Neural Network Based Fault Diagnostics of Rotating Machinery Using Wavelet Transforms as a Preprocessor", *Mechanical Systems and Signal Processing*, Vol. 11, No. 5, pp. 751-765, (1997).
14. Hagan, M.T., Demuth, H.B. and Beale, M.H., "Neural Network Design", Pws Pub. Boston, (1996).